

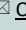


Artículo de investigación

Estrategias de regulación emocional y sus efectos sobre la intolerancia a la frustración: un modelo estructural

Emotional regulation strategies and their effects on frustration intolerance: Structural Equation Modeling

Christian Schetsche¹⁻⁴ , Lucas Gago-Galvagno¹⁻²⁻³⁻⁴ , Alba Elizabeth Mustaca² 

¹ Instituto de Investigaciones, Facultad de Psicología, Universidad de Buenos Aires.

² Facultad de Psicología y Relaciones Humanas, Universidad Abierta Interamericana.

³ Consejo Nacional de Investigaciones Científicas y Técnicas (CONICET). Argentina.

⁴ Laboratorio de Cognición y Políticas Públicas.

Fecha correspondencia:

Recibido: agosto 10 de 2021.

Aceptado: julio 22 de 2022.

Forma de citar:

Schetsche, C., Gago-Galvagno, L., & Mustaca, A. E. (2023).

Estrategias de regulación emocional y sus efectos sobre la intolerancia a la frustración: un modelo estructural. *Rev. CES Psico*, 16(1), 88-110.

<https://dx.doi.org/10.21615/cesp.6281>

Open access

© Derecho de autor

Licencia creative commons

Ética de publicaciones

Revisión por pares

Gestión por Open Journal System

DOI: 10.21615/cesp.6281

ISSNe: 2011-3080

Publica con nosotros

Resumen

El objetivo del presente estudio fue evaluar las relaciones entre las estrategias adaptativas y desadaptativas de la regulación emocional (RE) y sus efectos sobre la intolerancia a la frustración (IF). Se conformó una muestra no-probabilística de 1066 adultos (M edad= 35.76, DS= 12.78, femenino= 838) residentes en Argentina, a quienes se administraron la Escala de Intolerancia a la Frustración (EIF) y el Cuestionario de regulación emocional cognitiva (CERQ, Cognitive Emotional Regulation Questionnaire). A través de un modelo de ecuaciones estructurales, se determinó que la estrategia de RE denominada Rumiación presentó los mayores efectos sobre la IF; además, se destacó por sus efectos mediadores sobre las demás estrategias desadaptativas. Aunque Aceptación, Poner en perspectiva y Refocalización en planes se consideren estrategias adaptativas de RE, el modelo desarrollado indica que fomentan el uso de las estrategias desadaptativas. Solamente la Focalización positiva tuvo efectos positivos, por lo que se concluye que consiste en la estratégica principal para reducir la IF.

Palabras clave: regulación emocional; intolerancia a la frustración; modelo de ecuaciones estructurales; invarianza factorial.

Abstract

The objective of the present study was to evaluate the relationships between adaptive and maladaptive strategies of emotional regulation (ER) and their effects on intolerance to frustration (FI). A non-probabilistic sample of 1066 adults (M age= 35.76, SD= 12.78, female= 838) residents of Argentina was collected and administered the Frustration Intolerance Scale (EIF) and the Cognitive Emotional Regulation Questionnaire (CERQ). Through structural equation modeling, it was determined that the ER strategy called Rumination presented the greatest effects on FI; in addition, it stood out for its mediating effects on the other maladaptive strategies. Although Acceptance, Putting in perspective and Refocusing on plans are considered adaptive ER strategies, the model developed indicates that they promote the use of maladaptive strategies. Only Positive Focusing had positive effects, thus it is concluded that it is the main strategy to reduce FI.

Keywords: emotion regulation; frustration intolerance; sem; structural equation modeling; measurement invariance.

Introducción

La regulación emocional (RE) se refiere a los procesos por los cuales los individuos influyen sobre sus propias emociones, y determinan en qué momento y de qué manera las manifiestan. Pueden ser procesos controlados o incontrolados, así como accesibles o no a la conciencia. Su objetivo es redireccionar la espontaneidad de las emociones para su incremento, mantenimiento o disminución, ya sea alterando los factores que anteceden a la emoción o modificando algunos de sus aspectos de acuerdo con el objetivo que quiera alcanzar el individuo. El fin de este proceso es mantener un funcionamiento psicológico adecuado (Dominguez Lara & Medrano, 2016b).

Si bien las estrategias de RE no se pueden considerar más o menos adecuadas, dado que dependen del contexto o situación (Gratz & Roemer, 2004), se ha señalado que algunas están más relacionadas con cuadros psicopatológicos (Cludius et al., 2020; Domínguez-Sánchez et al., 2013; Feliu-Soler et al., 2017; Garnefski & Kraaij, 2006a; Weissman et al., 2019); y por ello suelen clasificarse en adaptativas o desadaptativas (Domínguez-Sánchez et al., 2013). Índices altos de uso de estrategias adaptativas de RE se asocian con mayores niveles de satisfacción con la vida y comportamientos resilientes (Aydin Sünbül & Yerin Güneri, 2019; Limonero et al., 2012), estilos de apego seguro (Garrido-Rojas, 2006; Guzmán et al., & Vilca, 2016), y menor probabilidad de presencia de trastornos mentales (Cludius et al., 2020; Weissman et al., 2019) en muestras de niños/as, adolescentes y adultos. En cambio, el uso de estrategias desadaptativas presentan asociaciones, entre otras, con la depresión y la ansiedad (Garnefski & Kraaij, 2006b), el síndrome de fibromialgia y la catastrofización del dolor (Feliu-Soler et al., 2017), y el cansancio emocional (Dominguez Lara & Medrano, 2016a).

Una de las emociones negativas más frecuentes en los humanos es aquella que se origina cuando los hechos que ocurren son peor a los esperados, y se define como decepción o frustración. La frustración es entendida como el estado del organismo desencadenado ante la devaluación, omisión o inaccesibilidad inesperada de un reforzador positivo (Amsel, 1992). Se halló que los procesos neurales, y las respuestas fisiológicas, emocionales y comportamentales que provoca esta emoción son similares al dolor sensorial, al miedo y a la ansiedad (Mustaca, 2017).

La intensidad y duración de los estados de frustración dependen de la discrepancia entre lo que se espera y lo que se obtiene, como también de factores genéticos, cognitivos, motivacionales y de aprendizajes previos (Cuenya et al., 2014). De esta manera, la intolerancia a la frustración (IF) es un constructo multidimensional e independiente de la valoración global de la autoestima (Ellis, 1980), que engloba (1) la Intolerancia Emocional, que implica la intolerancia a la angustia emocional; (2) la Demanda de Derechos, que envuelve la intolerancia a la injusticia y a la gratificación frustrada; (3) la Intolerancia a la Incomodidad, que comprende la intolerancia a las dificultades y a las molestias, y (4) la Ausencia de Logro, que implica la intolerancia a los objetivos de logro frustrados (Harrington, 2005; Medrano et al., 2018).

Por otra parte, Ellis (1980) afirmó que la alta IF es una de las causas de los síntomas neuróticos y se relaciona con creencias irracionales, como que la vida siempre debe ser cómoda y feliz, que difieren en gran medida con la realidad. Una alta IF está asociada a depresión, ansiedad y hostilidad (Filippello et al., & Costa, 2014) y alto neuroticismo (Alba et al., 2020), entre otros.

Begoña Ibañez et al. (2019) estudiaron las asociaciones entre la IF y las estrategias de RE en 179 adolescentes, y hallaron correlaciones directas entre diversas dimensiones y estrategias evaluadas mediante la Escala de Intolerancia a la Frustración (EIF) y el Cuestionario de regulación emocional cognitiva (CERQ, *Cognitive Emotional Regulation Questionnaire*): Intolerancia Emocional con Rumiación, Autoculparse y Catastrofismo; Intolerancia por alcanzar Logros con Autoculparse; Intolerancia a la Incomodidad con Catastrofismo; Derechos con Culpar a Otros y Rumiación; y Puntuación Total de la EIF con Rumiación, Catastrofismo y Autoculparse, con tamaños del efecto bajos (0.15 a 0.35). En otro estudio, Medrano et al. (2019) encontraron que la dimensión Demanda de Derechos de la EIF se asociaba de forma positiva y con un tamaño del efecto bajo (0.19 a 0.35) con las estrategias de RE desadaptativas: Catastrofización y Culpar a Otros, que se evaluaron con el CERQ. Estas asociaciones fueron halladas en un modelo para explicar la agresividad, en una muestra de 419 adultos. En ambos estudios no se obtuvieron correlaciones entre las estrategias de RE adaptativas y la IF. A resultados similares arribaron otras investigaciones con muestras de adultos no clínicos, que encontraron asociaciones entre la IF y la emocionalidad negativa, ansiedad y depresión (Harrington, 2005, 2006; Stanković & Vukosavljević-Gvozden, 2011), aunque la intolerancia de tipo Emocional y la Demanda de Derechos fueron las que presentaron la mayor cantidad de relaciones con las variables de desregulación emocional.

Cabe mencionar que las relaciones entre las estrategias adaptativas y desadaptativas de la RE no son concluyentes. Al respecto, Garnefski y Kraaij (2006) encontraron correlaciones positivas entre las estrategias desadaptativas de la RE y determinadas estrategias adaptativas (aceptación, focalización en los planes y poner en perspectiva). También Domínguez-Sánchez et al. (2013) encontraron que la estrategia desadaptativa de la Rumiación se asocia positivamente con la Aceptación y la Focalización en los planes. Dado lo anterior, el presente estudio se propuso evaluar las relaciones entre las estrategias adaptativas y desadaptativas de la regulación emocional (RE) y sus efectos sobre la intolerancia a la frustración (IF); para tal propósito desarrolla un modelo estructural que busca evaluar las estrategias de RE, las relaciones entre ellas y, además, determinar sus asociaciones con las dimensiones de la IF. De esta manera, se pretende determinar si existen estrategias de RE adaptativas que reduzcan la probabilidad de que se utilicen estrategias de RE desadaptativas (Domínguez-Sánchez et al., 2013; Garnefski et al., 2001; Jermann et al., 2006) y, como consecuencia, disminuyan la IF. Por lo tanto, no se consideraron los efectos que las estrategias desadaptativas tenían sobre las estrategias adaptativas. Teniendo en cuenta las asociaciones descritas entre las estrategias adaptativas y desadaptativas de la RE (Domínguez-Sánchez et al., 2013; Garnefski & Kraaij, 2006b), se espera que la *aceptación, focalización en los planes y poner en perspectiva* no tengan efectos significativos para reducir las estrategias desadaptativas y tampoco para disminuir la IF.

Método

Participantes

Se realizó un muestro no-probabilístico. El grupo de participantes quedó conformado por 1066 adultos (M edad= 35.76, DS= 12.78, femenino= 838) residentes en Argentina, compuesto por un 45% de la Ciudad Autónoma de Buenos Aires, 33% de la Provincia de Buenos Aires, 14% de la Ciudad de Córdoba y 8% de la Ciudad de Mendoza. El 75% eran de nivel universitario incompleto o superior. Con relación al estado civil, el 44% estaba soltero, 46% casado o en pareja, 9% divorciado y separado y 1% viudo. El 15% de los participantes vivía solo, 46% con otra persona, 38% convivía con 3 a 5 personas y 2% convivía con más de 5 personas. Con respecto al estado laboral, el 13% estaba desempleado, 55% se encontraba en relación de dependencia, 21% trabajaba de forma independiente, 3% estaba jubilado y 8% manifestó tener otro estado laboral. El 26% de los participantes nunca han recibido algún tratamiento psicológico, 47% ha recibido alguna vez tratamiento psicológico y 27% estaba actualmente en tratamiento psicológico. Por último, el 90% de los participantes no estaba tomando ningún medicamento psicofarmacológico (ansiolítico, antidepresivo, antipsicótico) y 10% estaba tomando alguno de este tipo de medicamentos. Los criterios de inclusión comprendían el cumplimiento con la mayoría de edad y la aceptación del consentimiento informado.

Instrumentos

Cuestionario de regulación emocional cognitiva (CERQ), versión argentina de Medrano et al. (2013). Construido para investigar los procesos cognitivos que las personas utilizan para regular

sus emociones ante eventos que consideran estresantes. Posee 36 ítems cuyas opciones de respuesta van de 1 “casi nunca” a 5 “casi siempre”. Contiene nueve estrategias de RE, cada una compuesta por 4 ítems: cuatro estrategias son consideradas no adaptativas: *Rumiación*, *Catastrofización*, *Autoculparse*, y *Culpar a Otros*; y cinco adaptativas: *Poner en Perspectiva*, *Aceptación*, *Focalización Positiva*, *Reinterpretación Positiva* y *Refocalización en los Planes*. De la sumatoria de los ítems de cada subescala surge una puntuación; a mayor puntaje mayor es la presencia de cada estrategia. En la validación argentina, los índices de consistencia interna presentaron un Alpha de Cronbach entre 0.68 y 0.83.

Escala de Intolerancia a la frustración (EIF), versión argentina de Medrano et al. (2018). Evalúa las creencias irracionales que promueven la IF. La adaptación argentina contiene 17 ítems en escala Likert, en la cual 1 representa “no es nada característico de mí” hasta 5 “es muy característico de mí”. Se agrupa en cuatro dimensiones (*Intolerancia a la Incomodidad*, *Demanda de Derechos*, *Intolerancia Emocional* e *Intolerancia a la Ausencia de Logro*) e IF total, que es la suma de las cuatro dimensiones. A mayor puntaje mayor IF. En la validación argentina, el instrumento presentó un Alpha de Cronbach entre 0.61 a 0.84 para las subescalas.

Cuestionario sociodemográfico ad hoc. Indagó diversas variables como edad, género, nivel educativo, estado civil, cantidad de personas con las que convive, estado laboral, si realiza algún tratamiento psicológico y si toma alguna medicación.

Consideraciones éticas

Esta investigación fue aprobada por el Comité de Ética de la Universidad Abierta Interamericana y siguió los lineamientos éticos de la declaración de Helsinki.

Procedimiento

Los participantes fueron reclutados a través de las redes sociales de Facebook, Instagram y WhatsApp. En la página inicial de los cuestionarios, se explicó el objetivo del estudio, se informó sobre la participación anónima, la posibilidad de retirarse en cualquier momento de la investigación y el carácter confidencial de toda información proporcionada (Ley No. 25.326 de Argentina). Luego de confirmar la mayoría de edad y firmar el consentimiento informado se presentaron los cuestionarios en el mismo orden para todos los participantes: datos sociodemográficos, CERQ y EIF. Se utilizó la plataforma digital de Google Forms[®]. En caso de que los sujetos tuvieran dudas durante las respuestas a los cuestionarios, se les informó el correo electrónico de un miembro del equipo de investigación con quien podían comunicarse.

Análisis de datos

Se realizó la prueba robusta *Minimum Covariance Determinant* de Leys et al. (2018) para detectar los valores atípicos multivariantes. Se clasificaron 167 valores como atípicos severos, por lo que se eliminaron de la muestra, reduciéndose a un n= 899.

Se constató la inexistencia de multicolinealidad y, a través de la utilización del test de Mardia (1970), se comprobó que los datos no representaban una normalidad multivariante, por lo que se procedió a evaluar los ajustes del modelo mediante los índices ajustados $S-B\chi^2$ de Satorra y Bentler (2000), cumpliendo con los requisitos establecidos para el uso del Maximum Likelihood Method, o MLM (Hu & Bentler, 1999; Yu, 2002). Además, los ajustes de Satorra y Bentler (2000) permitieron el cálculo de un valor robusto del error estándar y del valor de significación.

Según las indicaciones de Hu y Bentler (1999), se considera adecuado un modelo cuando su ajuste toma los siguientes valores: $\chi^2/df \leq 3$, $SRMR \leq .08$, $RMSEA \leq 0.06$, $CFI \geq 0.95$, $TLI \geq 0.95$. Otros autores (e.g. Marsh et al., 2004) resaltan la importancia de evaluar también la complejidad del modelo y del tamaño de la muestra. Siguiendo las indicaciones de estos autores, el RMSEA y el TLI son los índices de ajuste idóneos para evaluar un modelo complejo con muestras de 1.000 sujetos.

Para evaluar la presencia de datos que no cumplen con la normalidad multivariante y los análisis de regresión, Preacher y Hayes (2008) sugieren usar el método *bootstrapping* para sortear el problema de la potencia y evaluar los efectos indirectos, por lo que se utilizó para establecer intervalos de confianza. Dentro del contexto de los modelos de ecuaciones estructurales, el *bootstrapping* permite evaluar la estabilidad de los parámetros del modelo y estimar una gran variedad de otras medidas (Kline, 2015; Stine, 1989; Yung & Bentler, 1996). La utilización de las correcciones de Satorra y Bentler (2000), junto con el método *bootstrapping*, permitió calcular las regresiones con errores estándares robustos y con intervalos de confianza.

Según las sugerencias para el desarrollo de escalas (DeVellis, 2016; Hair et al., 2019), se eliminaron ítems que (a) mediante la inspección de los índices de modificación no cargaban más en su factor deseado; (b) exhibían gran cantidad de residuos estandarizados (> 2.00) con otros ítems; (c) tenían cargas factoriales estandarizadas (< 0.50); (d) eran muy redundantes en términos de redacción con otros elementos; y (e) tenían cargas factoriales estandarizadas extremadamente altas (> 1.00). De esta manera, la EIF fue reducida a 12 ítems (EIF-12) mejorando sustancialmente sus características psicométricas. En su estructura factorial original, obtuvo los siguientes valores de ajustes: χ^2^{MLM} (Chi-Cuadrado ajustado utilizando la estimación de máxima verosimilitud con errores estándares robustos) = 594.713; $df = 113$; Scaling (Factor de corrección para el Chi-Cuadrado ajustado de Satorra-Bentler) = 1.235; $p = 0.000$; $RMSEA = 0.077$, 90% CI [.071, .083]; $SRMR = 0.067$; $CFI = 0.913$ y $TLI = 0.895$. Tras la medida de purificación, la EIF-12 obtuvo los siguientes valores de ajustes: $\chi^2^{MLM} = 136.556$; $df = 48$; Scaling = 1.209; $p = 0.000$; $RMSEA = 0.050$, 90% CI [0.040, 0.060]; $SRMR = 0.036$; $CFI = 0.976$ y $TLI = 0.967$. Tras la medida de purificación la asignación de los 12 ítems a los factores, fueron los siguientes: *intolerancia a la emoción* ítems 2, 7 y 11; *demanda de derechos*, 1, 4 y 6; *intolerancia a la incomodidad*, 3, 9, 12; e *intolerancia a la ausencia de logro*, 8, 14 y 17.

Tras la eliminación de nueve ítems, los valores psicométricos del CERQ mejoraron notablemente. En su estructura factorial original obtuvo los siguientes valores de ajustes: $\chi^2_{MLM} = 2576.967$; $df = 558$; $Scaling = 1.067$; $p = 0.000$; $RMSEA = 0.066$, 90% CI [0.063, 0.068]; $SRMR = 0.079$; $CFI = 0.836$ y $TLI = 0.815$. Tras la reducción de ítems, el CERQ-27 obtuvo los siguientes valores de ajustes: $\chi^2_{MLM} = 964.540$; $df = 288$; $Scaling = 1.050$; $p = 0.000$; $RMSEA = 0.052$, 90% CI [0.049, 0.056]; $SRMR = 0.054$; $CFI = 0.918$ y $TLI = 0.900$. La asignación de sus 27 ítems a cada dimensión quedó como sigue: *aceptación* ítems 2, 16 y 32; *poner en perspectiva*, 7, 20 y 34; *reinterpretación positiva*, 6, 23 y 31; *refocalización en planes*, 13, 19 y 30; *focalización positiva*, 4, 14 y 24; *culpar a otros*, 9, 29 y 36; *autoculparse*, 1, 17 y 33; *rumiación*, 3, 15 y 27; y *catastrofización*, 8, 10 y 22.

Aunque con la reducción de ítems los ajustes de modelo mejoraron, el CERQ-27 no alcanzó los valores mínimos $RMSEA \leq 0.06$, $TLI \geq 0.95$ recomendados por Marsh et al. (2004), por lo que no se continuó trabajando con los ítems sino con los factores. Por esta razón no se realizó un modelo de variables latentes (*Full Latent Variable Model*), sino un análisis de camino (*Pathway Analysis*), que son parte de las operaciones que se realizan con modelos de ecuaciones estructurales (Kline, 2015; Martín & Fernández, 1978; Raykov & Marcoulides, 2006).

Al trabajar con los factores nuevamente se evaluó si existían valores atípicos de la muestra total ($N = 1066$). Se clasificaron 32 valores como atípicos severos, quedando un $N = 1034$. Se constató la inexistencia de multicolinealidad y, a través de la utilización del test de Mardia (1970), se comprobó que los datos no representaban una normalidad multivariante, por lo que se continuó trabajando con los índices de ajuste descritos anteriormente.

Con el fin de desarrollar el modelo, se realizaron varios análisis de regresiones múltiples. En primer lugar, se evaluaron los efectos directos que todas las estrategias de RE tenían sobre las dimensiones de la IF. A continuación, se evaluaron los efectos directos entre todas las estrategias de RE. De acuerdo con el objetivo de estudio, no se tuvieron en cuenta los efectos que las estrategias desadaptativas tenían sobre las estrategias adaptativas. En el caso de los efectos directos entre dos estrategias adaptativas o entre dos estrategias desadaptativas, se continuó trabajando, como primer criterio, con el efecto directo con menor valor de probabilidad p y, si ambos tenían el mismo valor p , se prosiguió con el mayor valor estandarizado (β). A raíz de los efectos significativos de estos análisis de regresiones múltiples, se estableció el primer modelo completo.

Tras establecer el modelo inicial, se evaluaron nuevamente los valores de probabilidad, se eliminaron aquellos efectos que dejaron de ser significativos y, con el fin de mejorar el modelo, se analizaron los índices de modificación aplicando el método propuesto por Saris, Satorra y van der Veld (2009).

Para detectar los valores atípicos multivariantes, se realizó la prueba robusta *Minimum Covariance Determinant* (Leys et al., 2018). Para ello se utilizó el paquete MASS de Venables y Ripley (2002); el cálculo de la normalidad multivariante, con el MVN de Korkmaz et al., (2014); y el modelo de ecuaciones estructurales (SEM), su desarrollo y ajuste, el cálculo de los efectos y el análisis de la invarianza factorial se llevaron a cabo con la ayuda del paquete Lavaan de Rosseel (2012). Todos ellos forman parte del software R de Core Team (2020). Para desarrollar el modelo no se utilizaron los ítems de los cuestionarios, sino los factores. Se determinó como criterio de significación un valor de probabilidad = $p \leq 0.05$.

Resultados

La [Tabla 1](#) muestra los estadísticos descriptivos de los puntajes de los instrumentos aplicados a los participantes. Debido a que estos tenían una cantidad menor de ítems que en sus versiones originales, se utilizaron los promedios de los ítems que corresponden a cada factor para comparar los resultados con los obtenidos en investigaciones anteriores. Siguiendo la clasificación de Hinton (2014), los valores de las consistencias internas se encontraron entre moderados y altos.

Tabla 1. Estadísticos descriptivos y consistencias internas del CERQ-27 y EIF-12 (N = 1034).

Dimensiones de RE	M	SD	Min	Max	Asimetría	Curtosis	Q 0.25	Q 0.50	Q 0.75	α
Aceptación	3.597	0.829	1	5	-0.422	-0.039	3.000	3.667	4.000	0.660
Poner en perspectiva	3.336	0.903	1	5	-0.234	-0.374	2.667	3.333	4.000	0.640
Reinterpretación positiva	3.695	0.925	1	5	-0.490	-0.348	3.000	3.667	4.333	0.800
Refocalización en planes	3.876	0.850	1	5	-0.626	-0.057	3.333	4.000	4.667	0.710
Focalización positiva	3.011	0.970	1	5	-0.024	-0.542	2.333	3.000	3.667	0.770
Culpar a otros	1.861	0.830	1	5	-0.938	-0.457	1.000	1.667	2.333	0.800
Autoculparse	2.240	0.997	1	5	-0.566	-0.394	1.333	2.000	3.000	0.770
Rumiación	3.050	0.975	1	5	-0.080	-0.659	2.333	3.000	3.667	0.670
Catastrofización	1.805	0.783	1	5	-0.908	-0.205	1.000	1.667	2.333	0.580
Dimensiones de IF	M	SD	Min	Max	Asimetría	Curtosis	Q 0.25	Q 0.50	Q 0.75	α
Intolerancia emocional	2.275	1.056	1	5	-0.711	-0.234	1.333	2.000	3.000	0.880
Demanda de derechos	2.256	0.894	1	5	-0.795	-0.282	1.667	2.000	2.667	0.740
Intolerancia a la incomodidad	1.883	0.781	1	5	-0.820	-0.225	1.333	1.667	2.333	0.650
Intolerancia a la ausencia de logros	2.266	1.009	1	5	-0.699	-0.280	1.333	2.000	3.000	0.720

Notas: M, Media; SD, desviación estándar; Mdn, Mediana; Min, Minimum; Max, Maximum; Q, cuartil; α , alfas de Cronbach; RE, regulación emocional; IF, intolerancia a la frustración.

Efectos directos de las estrategias de RE sobre la EIF-12

En primer lugar, se analizaron aquellas estrategias de RE (variables independientes) que presentaron un efecto directo sobre las cuatro dimensiones de la escala de IF (variables

dependientes). La [Tabla 2](#) muestra los resultados. Se observa que, de las nueve estrategias de RE del CERQ-27, *aceptación* y *autoculparse* no tuvieron efectos directos sobre la EIF-12. Las estrategias *culpar a otros* y *rumiación* presentaron efectos directos en las cuatro dimensiones de la EIF-12.

Tabla 2. Resultados de regresiones utilizando EIF-12 como criterio y las estrategias de afrontamiento cognitivo como predictores (N = 1034).

Criterio	Predictores	95% IC			z	Beta (β)	P	
		b	LI	LS				
Intolerancia emocional								
	Poner en perspectiva	-0.123	-0.044	-0.202	0.040	-3.062	-0.105	0.002**
	Culpar a otros	-0.128	-0.046	-0.210	0.042	-3.055	-0.100	0.002**
	Rumiación	-0.293	-0.218	-0.368	0.038	-7.662	-0.270	0.000**
Demanda de derechos								
	Poner en perspectiva	-0.065	-0.005	-0.125	0.031	-2.124	-0.065	0.034**
	Refocalización en planes	-0.077	-0.003	-0.151	0.038	-2.027	-0.073	0.043**
	Focalización positiva	-0.134	-0.202	-0.065	0.035	-3.813	-0.145	0.000**
	Culpar a otros	-0.227	-0.160	-0.294	0.034	-6.649	-0.211	0.000**
	Rumiación	-0.142	-0.079	-0.205	0.032	-4.415	-0.155	0.000**
	Catastrofización	-0.133	-0.062	-0.203	0.036	-3.685	-0.116	0.000**
Intolerancia a la incomodidad								
	Poner en perspectiva	-0.087	-0.032	-0.142	0.028	-3.082	-0.100	0.002**
	Refocalización en planes	-0.143	-0.214	-0.072	0.036	-3.962	-0.156	0.000**
	Focalización positiva	-0.072	-0.129	-0.016	0.029	-2.517	-0.090	0.012**
	Culpar a otros	-0.136	-0.078	-0.194	0.030	-4.610	-0.145	0.000**
	Rumiación	-0.147	-0.095	-0.200	0.027	-5.496	-0.184	0.000**
	Catastrofización	-0.108	-0.043	-0.173	0.033	-3.249	-0.108	0.001**
Intolerancia a la ausencia de logros								
	Reinterpretación positiva	-0.112	-0.199	-0.026	0.044	-2.553	-0.103	0.011**
	Refocalización en planes	-0.181	-0.094	-0.269	0.045	-4.057	-0.152	0.000**
	Focalización positiva	-0.163	-0.241	-0.085	0.040	-4.103	-0.157	0.000**
	Culpar a otros	-0.156	-0.080	-0.231	0.039	-4.033	-0.128	0.000**
	Rumiación	-0.153	-0.082	-0.223	0.036	-4.250	-0.147	0.000**
	Catastrofización	-0.098	-0.014	-0.183	0.043	-2.283	-0.076	0.022**

Notas: ** $p < 0.01$; * $p < 0.05$; IC, Intervalo de confianza; LI, límite inferior; LS, límite superior; SE y los valores de p de la corrección de Satorra-Bentler.

Efectos directos entre las estrategias del CERQ-27

Para incluir las estrategias de RE *aceptación* y *autoculparse* en el modelo, se analizaron los efectos directos que estas tenían sobre las demás estrategias de RE y qué efectos recibían por parte de éstas. Para ello, *aceptación* y *autoculparse* se consideraron una primera vez como variables independientes y, posteriormente, como variables dependientes. Además, se

realizaron los análisis de regresiones múltiples correspondientes a los efectos directos entre todas las estrategias de RE.

En la [Tabla 3](#) se observa que la estrategia *aceptación* presentó un efecto positivo sobre la de *rumiación* y la *refocalización en planes* sobre la de *autoculparse* y la de *rumiación*, a pesar de que *aceptación* y *refocalización en planes* se consideran estrategias adaptativas. En cambio, *poner en perspectiva*, *reinterpretación positiva* y *focalización positiva* presentaron el resultado esperado. Asimismo, se observa que hubo varios efectos directos de naturaleza recíproca: *aceptación* y *poner en perspectiva*, *aceptación* y *reinterpretación positiva*, *aceptación* y *autoculparse*, *aceptación* y *rumiación*, *autoculparse* y *refocalización en planes*, *autoculparse* y *focalización positiva*, *autoculparse* y *culpar a otros*, *autoculparse* y *rumiación*, *autoculparse* y *catastrofización*.

Tabla 3. Resultados de regresiones utilizando las estrategias del CERQ-27 como criterios y como predictores (N = 1034).

Criterio	Predictores	95% IC			SE B	z	Beta (β)	p
		b	LI	LS				
Aceptación								
	Poner en perspectiva	-0.177	-0.117	-0.236	0.030	-5.826	-0.192	0.000**
	Reinterpretación positiva	-0.240	-0.173	-0.307	0.034	-6.995	-0.268	0.000**
	Focalización positiva	-0.084	-0.025	-0.143	0.030	-2.778	-0.098	0.005**
	Autoculparse	-0.059	-0.010	-0.109	0.025	-2.347	-0.071	0.019**
	Rumiación	-0.131	-0.077	-0.184	0.027	-4.796	-0.154	0.000**
Poner en perspectiva								
	Aceptación	-0.206	-0.137	-0.275	0.035	-5.874	-0.189	0.000**
	Reinterpretación positiva	-0.190	-0.114	-0.267	0.039	-4.866	-0.195	0.000**
	Refocalización en planes	-0.165	-0.089	-0.242	0.039	-4.243	-0.155	0.000**
	Focalización positiva	-0.158	-0.094	-0.221	0.032	-4.882	-0.169	0.000**
Reinterpretación positiva								
	Aceptación	-0.196	-0.141	-0.250	0.028	-7.019	-0.175	0.000**
	Poner en perspectiva	-0.133	-0.079	-0.187	0.027	-4.851	-0.130	0.000**
	Refocalización en planes	-0.380	-0.319	-0.440	0.031	12.303	-0.349	0.000**
	Focalización positiva	-0.283	-0.231	-0.335	0.026	10.707	-0.297	0.000**
	Culpar a otros	-0.100	-0.150	-0.049	0.026	-3.860	-0.089	0.000**
	Rumiación	-0.087	-0.138	-0.035	0.026	-3.312	-0.091	0.001**
	Catastrofización	-0.096	-0.153	-0.040	0.029	-3.328	-0.081	0.001**
Refocalización en planes								
	Poner en perspectiva	-0.118	-0.063	-0.173	0.028	-4.220	-0.126	0.000**
	Reinterpretación positiva	-0.388	-0.325	-0.451	0.032	12.119	-0.423	0.000**
	Focalización positiva	-0.098	-0.044	-0.151	0.027	-3.557	-0.111	0.000**
	Autoculparse	-0.126	-0.081	-0.171	0.023	-5.514	-0.148	0.000**
	Rumiación	-0.197	-0.146	-0.248	0.026	-7.547	-0.226	0.000**

Criterio	Predictores	95% IC					z	Beta (β)	p
		b	LI	LS	SE B				
Focalización positiva									
	Aceptación	-0.098	-0.028	-0.168	0.036	-2.747	-0.084	0.006**	
	Poner en perspectiva	-0.158	-0.095	-0.221	0.032	-4.940	-0.147	0.000**	
	Reinterpretación positiva	-0.405	-0.333	-0.478	0.037	10.973	-0.387	0.000**	
	Refocalización en planes	-0.137	-0.062	-0.211	0.038	-3.600	-0.120	0.000**	
	Autoculparse	-0.167	-0.219	-0.114	0.027	-6.208	-0.171	0.000**	
	Rumiación	-0.131	-0.198	-0.063	0.035	-3.769	-0.131	0.000**	
Culpar a otros									
	Reinterpretación positiva	-0.149	-0.226	-0.072	0.039	-3.808	-0.166	0.000**	
	Autoculparse	-0.135	-0.189	-0.080	0.028	-4.818	-0.162	0.000**	
	Rumiación	-0.115	-0.055	-0.175	0.031	-3.744	-0.135	0.000**	
	Catastrofización	-0.255	-0.188	-0.322	0.034	-7.468	-0.241	0.000**	
Autoculparse									
	Aceptación	-0.087	-0.014	-0.160	0.037	-2.340	-0.072	0.019**	
	Refocalización en planes	-0.221	-0.143	-0.300	0.040	-5.506	-0.189	0.000**	
	Focalización positiva	-0.209	-0.274	-0.144	0.033	-6.281	-0.203	0.000**	
	Culpar a otros	-0.161	-0.226	-0.097	0.033	-4.889	-0.134	0.000**	
	Rumiación	-0.296	-0.233	-0.360	0.032	-9.173	-0.290	0.000**	
	Catastrofización	-0.220	-0.140	-0.299	0.041	-5.420	-0.173	0.000**	
Rumiación									
	Aceptación	-0.164	-0.096	-0.231	0.034	-4.776	-0.139	0.000**	
	Reinterpretación positiva	-0.133	-0.211	-0.054	0.040	-3.300	-0.126	0.001**	
	Refocalización en planes	-0.295	-0.224	-0.367	0.037	-8.072	-0.257	0.000**	
	Focalización positiva	-0.140	-0.212	-0.067	0.037	-3.758	-0.139	0.000**	
	Culpar a otros	-0.117	-0.053	-0.181	0.033	-3.590	-0.100	0.000**	
	Autoculparse	-0.253	-0.200	-0.306	0.027	-9.377	-0.259	0.000**	
	Catastrofización	-0.304	-0.234	-0.373	0.035	-8.603	-0.244	0.000**	
Catastrofización									
	Reinterpretación positiva	-0.111	-0.175	-0.046	0.033	-3.376	-0.131	0.001**	
	Culpar a otros	-0.196	-0.143	-0.249	0.027	-7.260	-0.208	0.000**	
	Autoculparse	-0.141	-0.090	-0.192	0.026	-5.412	-0.180	0.000**	
	Rumiación	-0.228	-0.177	-0.279	0.026	-8.766	-0.284	0.000**	

Notas: ** p < 0.01; * p < 0.05; IC, Intervalo de confianza; LI, límite inferior; LS, límite superior; SE y los valores de p de la corrección de Satorra-Bentler.

Byrne (2016) afirma que, aunque puede haber caminos recíprocos legítimos, no todos pueden ser de interés en un estudio. Por este motivo, sugiere el uso de un flujo de interés, que en el presente estudio sería, como se observa en la Ilustración 1, de izquierda a derecha: en el margen izquierdo, las estrategias adaptativas del CERQ-27; en el centro, las desadaptativas y en el margen derecho, las cuatro dimensiones de la EIF-12. Este flujo de interés representa el objetivo del estudio: identificar si las estrategias adaptativas pueden disminuir la probabilidad que se utilicen estrategias desadaptativas y como consecuencia, reducir la IF. Para ello se

tuvieron en cuenta solamente los efectos que las estrategias adaptativas tenían sobre las desadaptativas.

Establecimiento del primer modelo estructural entre el CERQ-27 y la EIF-12, y análisis de los índices de modificación

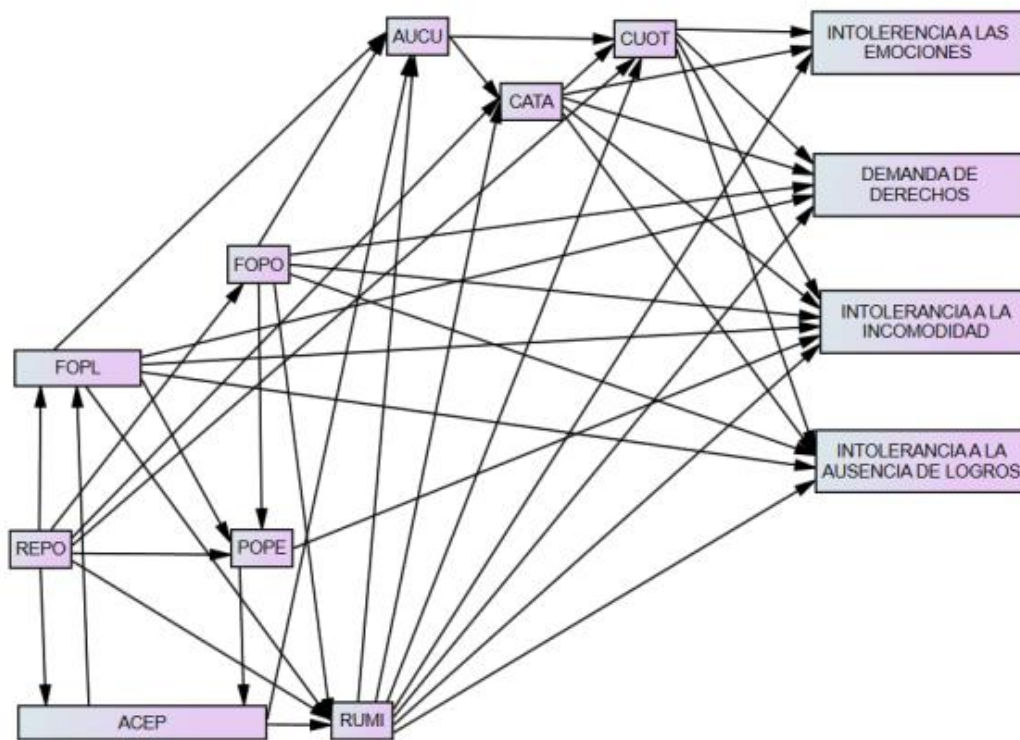
A raíz de los efectos significativos de los análisis de regresión múltiple, se estableció el primer modelo estructural. Tras revisar los valores de significación del primer modelo desarrollado, se advirtió que la estrategia de RE *poner en perspectiva* no tuvo un efecto significativo sobre el factor de la IF *demanda de derechos* ni sobre *intolerancia a las emociones*, al igual que la *focalización positiva* sobre la *aceptación* y la *reinterpretación positiva* sobre el factor de la IF *intolerancia a la ausencia de logro*. Por lo tanto, fueron eliminados. Para mejorar el modelo, se continuó trabajando sobre los índices de modificación; para ello se utilizó el método propuesto por Saris et al. (2009).

Se analizaron las covarianzas de residuos, sin detectar ninguna anomalía, por lo que se continuó trabajando sobre los índices de modificación relacionados con las regresiones. Siguiendo las sugerencias de Saris et al. (2009), este procedimiento se realizó agregando las regresiones una por una, respetando el flujo de interés mencionado (Byrne, 2016).

Se realizaron tres modificaciones. La primera comprendió la inclusión del efecto directo de la *aceptación* sobre la *refocalización en planes*, la segunda la inclusión del efecto de la *catastrofización* sobre la *intolerancia a las emociones*, y la tercera la eliminación del efecto de la *refocalización en los planes* sobre la *focalización positiva* debido a que no presentaron el criterio de significación requerido. Aunque el modelo, después de la segunda modificación, obtuvo mejores ajustes según los índices RMSEA y TLI, se descartó debido al efecto descrito. El modelo final obtuvo los siguientes valores de ajustes: $\chi^2_{MLM} = 41.114$; $df = 30$; $Scaling = 1.030$; $p = 0.085$; $RMSEA = 0.019$, 90% CI [0.000, 0.033]; $SRMR = 0.022$; $CFI = 0.997$ y $TLI = 0.992$.

Se calcularon las correlaciones múltiples al cuadrado y se determinó que las estrategias del CERQ-27 explicaron el 19.9% de la varianza de *demanda de derechos*, el 16.5% de la varianza de *intolerancia a incomodidad*, el 15.7% de la varianza de *intolerancia a la ausencia de logros* y el 12.2% de la varianza de *intolerancia emocional*.

La Ilustración 1 muestra la representación gráfica del modelo final. Las estrategias de RE *Aceptación*, *poner en perspectiva*, *reinterpretación positiva*, *refocalización en planes* y *focalización positiva* se situaron en el margen inferior izquierdo de la ilustración para poder resaltar el flujo de interés del modelo.



Notas: ACEP, aceptación; POPE, poner en perspectiva; REPO, reinterpretación positiva; FOPL, focalización en planes; FOPO, focalización positiva; CUOT, culpar a otros, AUCU, autoculparse; RUMI, rumiación; CATA, catastrófica.

Ilustración 1. Modelo final de RE e IF.

La [Tabla 4](#) presenta los efectos directos del modelo final. Se observan dos efectos positivos directos: *reinterpretación positiva* sobre *focalización positiva* y sobre la *refocalización en los planes*, que fueron los más significativos del modelo desarrollado.

Tabla 4. Resultado de regresiones del modelo final (N = 1034).

Criterio	Predictores	95% IC			SE B	z	Beta (β)	p
		b	LI	LS				
Intolerancia a la emoción								
	Culpar a otros	-0.137	-0.056	-0.217	0.041	-3.340	-0.107	0.001**
	Rumiación	-0.300	-0.235	-0.364	0.033	-9.079	-0.278	0.000**
	Catastrofización	-0.093	-0.008	-0.178	0.044	-2.136	-0.069	0.033**
Demanda de derechos								
	Refocalización en planes	-0.085	-0.026	-0.145	0.030	-2.839	-0.081	0.005**
	Focalización positiva	-0.144	-0.198	-0.090	0.027	-5.253	-0.156	0.000**
	Culpar a otros	-0.232	-0.165	-0.299	0.034	-6.808	-0.214	0.000**
	Rumiación	-0.150	-0.093	-0.206	0.029	-5.169	-0.163	0.000**
	Catastrofización	-0.138	-0.068	-0.209	0.036	-3.842	-0.121	0.000**

Criterio	Predictores	95% IC			z	Beta (β)	p	
		b	LI	LS				
Intolerancia a la incomodidad								
	Poner en perspectiva	-0.052	-0.003	-0.101	0.025	-2.087	-0.060	0.037**
	Refocalización en planes	-0.138	-0.196	-0.080	0.030	-4.649	-0.150	0.000**
	Focalización positiva	-0.097	-0.143	-0.050	0.024	-4.048	-0.120	0.000**
	Culpar a otros	-0.135	-0.077	-0.193	0.030	-4.557	-0.144	0.000**
	Rumiación	-0.172	-0.123	-0.220	0.025	-6.945	-0.216	0.000**
	Catastrofización	-0.124	-0.059	-0.188	0.033	-3.767	-0.124	0.000**
Intolerancia a la ausencia de logros								
	Refocalización en planes	-0.183	-0.111	-0.255	0.037	-4.961	-0.153	0.000**
	Focalización positiva	-0.192	-0.254	-0.129	0.032	-6.023	-0.183	0.000**
	Culpar a otros	-0.158	-0.082	-0.235	0.039	-4.056	-0.129	0.000**
	Rumiación	-0.182	-0.117	-0.247	0.033	-5.492	-0.175	0.000**
	Catastrofización	-0.117	-0.031	-0.203	0.044	-2.676	-0.090	0.007**
Culpar a otros								
	Autoculparse	-0.139	-0.192	-0.086	0.027	-5.142	-0.168	0.000**
	Catastrofización	-0.256	-0.189	-0.324	0.034	-7.462	-0.242	0.000**
	Reinterpretación positiva	-0.120	-0.176	-0.064	0.029	-4.211	-0.134	0.000**
	Rumiación	-0.114	-0.055	-0.174	0.030	-3.752	-0.135	0.000**
Catastrofización								
	Autoculparse	-0.113	-0.062	-0.164	0.026	-4.304	-0.144	0.000**
	Reinterpretación positiva	-0.147	-0.194	-0.099	0.024	-6.049	-0.173	0.000**
	Rumiación	-0.255	-0.208	-0.302	0.024	10.635	-0.319	0.000**
Autoculparse								
	Refocalización en planes	-0.215	0.142	-0.288	0.037	-5.785	-0.183	0.000**
	Focalización positiva	-0.226	-0.285	-0.166	0.030	-7.451	-0.218	0.000**
	Aceptación	-0.085	0.017	-0.153	0.035	-2.449	-0.070	0.014**
	Rumiación	-0.346	0.286	-0.406	0.030	11.375	-0.338	0.000**
Rumiación								
	Focalización positiva	-0.221	-0.297	-0.145	0.039	-5.681	-0.219	0.000**
	Refocalización en planes	-0.452	0.377	-0.526	0.038	11.920	-0.392	0.000**
	Reinterpretación positiva	-0.249	-0.335	-0.164	0.043	-5.741	-0.236	0.000**
	Aceptación	-0.237	0.165	-0.309	0.037	-6.448	-0.201	0.000**
Aceptación								
	Poner en perspectiva	-0.205	0.145	-0.266	0.031	-6.658	-0.223	0.000**
	Reinterpretación positiva	-0.298	0.242	-0.355	0.029	10.352	-0.333	0.000**
Poner en perspectiva								
	Focalización positiva	-0.161	0.099	-0.223	0.032	-5.068	-0.173	0.000**
	Refocalización en planes	-0.200	0.126	-0.274	0.038	-5.291	-0.188	0.000**
	Reinterpretación positiva	-0.242	0.166	-0.319	0.039	-6.219	-0.249	0.000**
Focalización positiva								
	Reinterpretación positiva	-0.584	0.530	-0.637	0.027	21.427	-0.557	0.000**
Focalización en planes								
	Reinterpretación positiva	-0.450	0.395	-0.505	0.028	15.964	-0.490	0.000**
	Aceptación	-0.131	0.063	-0.199	0.035	-3.779	-0.127	0.000**

Notas: ** p < 0.01; * p < 0.05; IC, Intervalo de confianza; LI, límite inferior; LS, límite superior; SE y los valores de p de la corrección de Satorra-Bentler.

La **Tabla 5** presenta la matriz de los efectos totales estandarizados. Se destaca la *rumiación* como la estrategia de RE que mayor efecto tuvo sobre la IF y, en segundo lugar, *culpar a otros*. La focalización *positiva* y la *reinterpretación positiva* se mostraron como estrategias de RE adaptativas. Al analizar el promedio de los efectos totales que tuvieron las estrategias de RE entre ellas, se encontró la *rumiación*, la *catastrofización* y la *refocalización en planes* como variables mediadoras y, por otro lado, la *focalización positiva* y la *reinterpretación positiva* como moderadoras de las estrategias desadaptativas.

Tabla 5. Matriz de efectos totales estandarizados (N = 1034).

Criterios	Predictores								
	REPO	FOPO	ACEP	POPE	FOPL	RUMI	AUCU	CATA	CUOT
(1) Focalización positiva	0.557								
(2) Aceptación	0.433	0.039	0.005	0.225	0.042				
(3) Poner en perspectiva	0.447	0.174	0.024	0.005	0.190				
(4) Refocalización en planes	0.545	0.005	0.128	0.029	0.005				
(5) Rumiación	-0.057	-0.209	0.252	0.056	0.402				
(6) Autoculparse	-0.011	-0.285	0.179	0.040	0.323	0.338			
(7) Catastrofización	-0.193	-0.108	0.106	0.024	0.175	0.368	0.144		
(8) Culpar a otros	-0.187	-0.007	0.030	0.007	0.043	0.167	-0.133	0.242	
(9) Intolerancia a la ausencia de logros	-0.070	-0.230	0.077	0.017	0.246	0.230	-0.004	0.122	0.129
(10) Intolerancia a la incomodidad	-0.185	-0.170	0.054	0.072	-0.025	0.286	-0.001	0.159	0.144
(11) Demanda de derechos	-0.115	-0.204	0.071	0.016	0.177	0.243	-0.011	0.172	0.214
(12) Intolerancia a la emoción	-0.049	-0.066	0.081	0.018	0.128	0.321	-0.004	0.095	0.107
Media de estrategias desadaptativas (5-8)	-0.112	-0.152	0.142	0.032	0.236	0.291	0.005	0.242	-
Media de IF (9-12)	-0.105	-0.168	0.071	0.031	0.132	0.270	-0.005	0.137	0.149

Notas: ACEP, aceptación; POPE, poner en perspectiva; REPO, reinterpretación positiva; FOPL, refocalización en planes; FOPO, focalización positiva; CUOT, culpar a otros, AUCU, autoculparse; RUMI, rumiación; CATA, catastrofización; IF, intolerancia a la frustración.

Invarianza factorial

Para analizar si el modelo representaba una invarianza factorial se realizó un análisis de múltiples grupos con relación al género, limitándose a los participantes del género femenino (n = 815) y masculino (n = 214), dado que cinco participantes se identificaron como “otro”. Los ajustes indican para ambos géneros un modelo significativamente exacto siguiendo la clasificación de Hu y Bentler (1999). El modelo final para el género femenino obtuvo los

siguientes valores de ajustes: $\chi^2_{MLM} = 36.880$; $df = 30$; $Scaling = 1.020$; $p = 0.181$; $RMSEA = 0.017$, 90% CI [0.000, 0.033]; $SRMR = 0.023$; $CFI = 0.998$ y $TLI = 0.994$. El modelo final del género masculino obtuvo los siguientes valores de ajustes: $\chi^2_{MLM} = 38.594$; $df = 30$; $Scaling = 1.045$; $p = 0.135$; $RMSEA = 0.037$, 90% CI [0.000, 0.068]; $SRMR = 0.038$; $CFI = 0.986$ y $TLI = 0.964$.

A continuación, se realizó el análisis de múltiples grupos. Debido a la sensibilidad de la prueba de diferencia de Chi-cuadrado en muestras de gran tamaño (Meade et al., 2008), se utilizaron los cambios del CFI y del RMSEA para poder evaluar la invarianza factorial. Éstos se encontraron dentro de unos rangos adecuados con $|\Delta CFI| \leq 0.01$ según Cheung y Rensvold (2002) y $|\Delta RMSEA| \leq 0.015$ según Chen (2007). Debido a que el modelo se desarrolló sin la utilización de variables latentes, no existió diferencia entre el configural (M1) y débil (M2). Se puede afirmar que el modelo representa invarianza factorial indicando que, independientemente del género, evalúa el mismo constructo.

Discusión

Con el objetivo de determinar las relaciones entre las distintas estrategias de RE y la IF, esta investigación desarrolló un modelo de ecuaciones estructurales. El modelo final representa invarianza factorial, por lo que tiene validez con respecto al género. Se determinó que la estrategia de RE de *rumiación* presentó los efectos más significativos sobre la IF y, además, se destacó por sus efectos mediadores sobre las demás estrategias de RE desadaptativas. Aunque *aceptación*, *poner en perspectiva* y *refocalización en planes* se consideran estrategias adaptativas, el modelo desarrollado indica que fomentan el uso de las estrategias desadaptativas. Solamente la *focalización positiva* tuvo efectos exclusivamente positivos.

Respecto a las estrategias desadaptativas, la *rumiación* fue la que presentó mayores efectos mediadores sobre las cuatro dimensiones de la IF, es decir, la *intolerancia a la ausencia de logros*, la *intolerancia a la incomodidad*, la *demanda de derechos* y la *intolerancia a la emoción*. En su estudio sobre la IF y la RE, Begoña Ibañez et al. (2019) encontraron también que la *rumiación* tenía las asociaciones más significativas con la *intolerancia emocional* y el factor IF total. Además, la *rumiación* exhibió los efectos mediadores más significativos sobre las demás estrategias desadaptativas de la RE, lo cual está en sintonía con Garnefski y Kraaij (2006) que analizaron las asociaciones entre las nueve estrategias que evalúa el CERQ. Aun así, cabe mencionar que estos autores trabajaron con correlaciones y no con regresiones o, en su defecto, con correlaciones parciales; y debido a eso, no tuvieron en cuenta la posibilidad de que algunas variables pudieran compartir partes de sus varianzas. Por otro lado, cabe destacar que la estrategia de RE *rumiación* está también implicada en la aparición y el mantenimiento de la depresión (Nolen-Hoeksema et al., 2008) y de múltiples otros trastornos, lo que lleva a la hipótesis de que es un proceso patológico transdiagnóstico (Ehring & Watkins, 2008; Nolen-Hoeksema & Watkins, 2011). Como consecuencia e indicando su importancia percibida, en la actualidad se ha presentado un crecimiento significativo de la investigación sobre la estrategia de la *rumiación* (Watkins & Roberts, 2020). Teniendo en cuenta estas investigaciones y los

resultados del presente estudio, resalta la importancia de profundizar el estudio de la *rumiación* y sus asociaciones con la IF.

Aun estando en sintonía con estudios previos (Domínguez-Sánchez et al., 2013; Garnefski & Kraaij, 2006b), los siguientes efectos encontrados en el presente estudio son llamativos: las estrategias de RE adaptativas, *aceptación*, *poner en perspectiva* y *refocalización en planes* correlacionaron positivamente sobre las estrategias de RE desadaptativas. Esta afirmación se basa en el hecho que los mencionados autores reportaron en sus tablas de correlaciones los mismos resultados, pero no discutieron un posible origen de estas asociaciones. Es decir que, teniendo en cuenta la distinción entre estrategias adaptativas y estrategias desadaptativas, cabría esperar que correlacionen de forma negativa entre ellas. Una posible explicación está vinculada con el modelo de afrontamiento basado en el control (Compas et al., 2001): este modelo incluye la diferenciación entre el afrontamiento de control primario (es decir, los esfuerzos para actuar directamente sobre la fuente de estrés o las propias emociones, incluyendo la resolución de problemas y la expresión emocional), el afrontamiento de control secundario (es decir, esfuerzos para adaptarse a la fuente de estrés, incluyendo la aceptación y la reevaluación cognitiva), y el afrontamiento de desvinculación (es decir, los esfuerzos para orientarse lejos de la fuente de estrés o de las propias emociones, incluyendo la evitación o la negación). De esta manera, se podría interpretar que las estrategias desadaptativas que evalúa el CERQ representan respuestas inmediatas a una situación estresante y la *aceptación*, *poner en perspectiva* y *refocalización en planes* describen estrategias de control secundario, quiere decir esfuerzos posteriores para adaptarse a la fuente del estrés. Por ende, se explicaría que niveles aumentados de estrategias desadaptativas pueden estar asociados con niveles altos de estas tres estrategias adaptativas. Esta interpretación comprendería también un posible motivo por el que, en el presente estudio, se encontró que estas estrategias adaptativas se asociaron de forma positiva con la IF (ver Tablas 4 y 5). La única excepción parcial consistió en un leve efecto negativo que la estrategia *refocalización en planes* tuvo sobre la *intolerancia a la incomodidad*.

De esta manera, las únicas estrategias que correlacionaron negativamente con las dimensiones de la IF (ver [Tabla 5](#)) fueron la *focalización positiva* y la *reinterpretación positiva*. Además, la estrategia de RE *focalización positiva* fue la que mayores efectos moderadores tuvo sobre la *rumiación*.

Al analizar los resultados del presente estudio, se derivan tres conclusiones principales: (1) la estrategia de RE *rumiación* representa el nexo principal entre las estrategias de RE adaptativas y las desadaptativas, (2) de todas las estrategias adaptativas de RE, la *focalización positiva* aparenta ser la más elemental debido a sus efectos moderadores sobre las estrategias desadaptativas y sobre la IF, y (3) la estrategia *reinterpretación positiva* no recibe efectos de las demás estrategias, por lo que se constituye en la única variable totalmente independiente del modelo desarrollado.

En resumen, el modelo propuesto encontró que la *focalización positiva* es la única estrategia adaptativa que no presentó efectos mediadores sobre las estrategias desadaptativas ni sobre la IF. Estos resultados conducen hacia la necesidad de reinterpretar las estrategias de la *aceptación, refocalización en planes y poner en perspectiva* debido a que, a pesar de considerarse adaptativas, tienen asociaciones positivas con las estrategias desadaptativas e incluso con la IF. Debido a ello, se sugiere aplicar técnicas que estimulen la *reinterpretación positiva*, de tal manera que ésta conduzca hacia la *focalización positiva* ante situaciones de estrés y no a la *aceptación, refocalización en planes y poner en perspectiva*. Como consecuencia, se produciría un menor uso de estrategias desadaptativas, especialmente de la *rumiación*, y un aumento de la tolerancia a la frustración. De esta manera, el análisis que se presenta indica que la utilización de una *reinterpretación positiva* que incite el uso de la *refocalización positiva* es la mejor opción para propiciar una RE efectiva.

La *focalización positiva* consiste en estimular pensamientos sobre temas alegres y placenteros, en lugar de pensar sobre situaciones problemáticas. En consecuencia, esta investigación conduce a valorizar los tratamientos que utilizan herramientas relacionadas con el campo de la psicología positiva como la activación conductual, que tiene un fuerte apoyo empírico para el tratamiento de la depresión (Cuijpers et al., 2007; Mazzucchelli et al., 2010). Para el manejo de la intolerancia al distrés en pacientes con enfermedades psicosomáticas se encontró que un tratamiento basado en la psicología positiva obtuvo mejores resultados, con un tamaño del efecto mediano, que otro centrado en entrenamientos para adquirir mayor tolerancia a la incomodidad y mejor enfrentamiento a adversidades (Otto & Linden, 2018). Teniendo en cuenta estas investigaciones y los resultados del presente estudio, se recomienda ahondar, a través de estudios clínicos basados en la psicología positiva, en la evaluación de los mecanismos implicados en la RE.

Aunque el presente estudio profundizó en el análisis de las relaciones entre la RE y la IF, y los efectos entre las estrategias de RE, debe tenerse en cuenta que los modelos de ecuaciones estructurales no demuestran la presencia de una relación causal entre las variables, más bien pueden apoyar una teoría previa, y, por lo tanto, deben ser convalidadas con diseños experimentales (Byrne, 2016; Kline, 2015). Además, es importante tener en cuenta que el modelo desarrollado consiste en el primer modelo estructural que comprende una elevada variedad de estrategias de RE, por lo que se dificultó la comparación de los resultados con aquellos que se obtuvieron en estudios previos. Así mismo, es necesario considerar que, en el presente estudio, se realizó un muestreo no probabilístico y se utilizaron instrumentos de auto reporte, por lo que no es recomendable la generalización de sus resultados. Esas circunstancias conducen hacia la necesidad de que futuras investigaciones convaliden sus resultados.

Agradecimientos

Los autores agradecen a Carolina de Grandis, Florencia Ferrero, Julián Loss, Diego Castrillón y Milagros Celleri por su respaldo en la recolección de datos utilizados en el presente estudio.

Referencias

- Alba, L., Giaquinto, L. G., & Mustaca, A. (2020). Intolerancia a la frustración y personalidad. *Revista Argentina de Ciencias Del Comportamiento (RACC)*, 12(1), 29–73.
- Amsel, A. (1992). *Frustration Theory*. Cambridge University Press. <https://doi.org/10.1017/CBO9780511665561>
- Aydin Sünbül, Z., & Yerin Güneri, O. (2019). The relationship between mindfulness and resilience: The mediating role of self compassion and emotion regulation in a sample of underprivileged Turkish adolescents. *Personality and Individual Differences*, 139, 337–342. <https://doi.org/10.1016/j.paid.2018.12.009>
- Begoña Ibañez, M., Franco, P., & Mustaca, A. E. (2019). Intolerancia a la Frustración y Regulación Emocional en adolescentes. *Revista ConCiencia EPG*, 3(2), 12–33. <https://doi.org/10.32654/CONCIENCIAEPG.3-2.2>
- Byrne, B. M. (2016). *Structural Equation Modeling with AMOS*. Routledge. <https://doi.org/10.4324/9781315757421>
- Chen, F. F. (2007). Sensitivity of Goodness of Fit Indexes to Lack of Measurement Invariance. *Structural Equation Modeling: A Multidisciplinary Journal*, 14(3), 464–504. <https://doi.org/10.1080/10705510701301834>
- Cheung, G. W., & Rensvold, R. B. (2002). Evaluating Goodness-of-Fit Indexes for Testing Measurement Invariance. *Structural Equation Modeling: A Multidisciplinary Journal*, 9(2), 233–255. https://doi.org/10.1207/S15328007SEM0902_5
- Cludius, B., Mennin, D., & Ehring, T. (2020). Emotion regulation as a transdiagnostic process. *Emotion*, 20(1), 37–42. <https://doi.org/10.1037/emo0000646>
- Compas, B. E., Connor-Smith, J. K., Saltzman, H., Thomsen, A. H., & Wadsworth, M. E. (2001). Coping with stress during childhood and adolescence: Problems, progress, and potential in theory and research. *Psychological Bulletin*, 127(1), 87–127. <https://doi.org/10.1037/0033-2909.127.1.87>
- Cuenya, L., Kamenetzky, G. V., & Mustaca, A. E. (2014). Early experience and incentive relativity in adulthood. *International Journal of Comparative Psychology*, 27(3), 459–473.
- Cuijpers, P., van Straten, A., & Warmerdam, L. (2007). Behavioral activation treatments of depression: A meta-analysis. *Clinical Psychology Review*, 27(3), 318–326. <https://doi.org/10.1016/j.cpr.2006.11.001>
- DeVellis, R. F. (2016). *Scale development: Theory and applications* (Vol. 26). Sage publications.
- Domínguez-Sánchez, F. J., Lasar-Aristu, A., Amor, P. J., & Holgado-Tello, F. P. (2013). Psychometric Properties of the Spanish Version of the Cognitive Emotion Regulation Questionnaire. *Assessment*, 20(2), 253–261. <https://doi.org/10.1177/1073191110397274>
- Dominguez Lara, S. A., & Medrano, L. A. (2016a). Propiedades psicométricas del cuestionario de regulación cognitiva de las emociones (CERQ) en estudiantes universitarios de Lima. *Psychologia*, 10(1), 53–67. <https://doi.org/10.21500/19002386.2466>
- Dominguez Lara, S. A., & Medrano, L. A. (2016b). Invarianza factorial del Cognitive Emotional Regulation Questionnaire (CERQ) en universitarios limeños y cordobeses. *Universitas Psychologica*, 15(1), 89–98. <https://doi.org/10.11144/Javeriana.upsy15-1.ifce>

- Ehring, T., & Watkins, E. R. (2008). Repetitive Negative Thinking as a Transdiagnostic Process. *International Journal of Cognitive Therapy*, 1(3), 192–205. <https://doi.org/10.1680/ijct.2008.1.3.192>
- Ellis, A. (1980). Rational-emotive therapy and cognitive behavior therapy: Similarities and differences. *Cognitive Therapy and Research*, 4(4), 325–340. <https://doi.org/10.1007/BF01178210>
- Feliu-Soler, A., Reche-Camba, E., Borràs, X., Pérez-Aranda, A., Andrés-Rodríguez, L., Peñarrubia-María, M. T., Navarro-Gil, M., García-Campayo, J., Bellón, J. A., & Luciano, J. V. (2017). Psychometric Properties of the Cognitive Emotion Regulation Questionnaire (CERQ) in Patients with Fibromyalgia Syndrome. *Frontiers in Psychology*, 8(2075), 1–13. <https://doi.org/10.3389/fpsyg.2017.02075>
- Filippello, P., Harrington, N., Buzzai, C., Sorrenti, L., & Costa, S. (2014). The Relationship between Frustration Intolerance, Unhealthy Emotions, and Assertive Behaviour in Italian Students. *Journal of Rational-Emotive & Cognitive-Behavior Therapy*, 32(4), 257–278. <https://doi.org/10.1007/s10942-014-0193-4>
- Garnefski, N., & Kraaij, V. (2006). Cognitive emotion regulation questionnaire – development of a short 18-item version (CERQ-short). *Personality and Individual Differences*, 41(6), 1045–1053. <https://doi.org/10.1016/j.paid.2006.04.010>
- Garnefski, N., Kraaij, V., & Spinhoven, P. (2001). Negative life events, cognitive emotion regulation and emotional problems. *Personality and Individual Differences*, 30(8), 1311–1327. [https://doi.org/10.1016/S0191-8869\(00\)00113-6](https://doi.org/10.1016/S0191-8869(00)00113-6)
- Garrido-Rojas, L. (2006). Apego, emoción y regulación emocional. Implicaciones para la salud. *Revista Latinoamericana de Psicología*, 38(3), 493–507.
- Gratz, K. L., & Roemer, L. (2004). Multidimensional Assessment of Emotion Regulation and Dysregulation: Development, Factor Structure, and Initial Validation of the Difficulties in Emotion Regulation Scale. *Journal of Psychopathology and Behavioral Assessment*, 26(1), 41–54. <https://link.springer.com/article/10.1007/s10862-008-9102-4>
- Guzmán, M., Carrasco, N., Figueroa, P., Trabucco, C., & Vilca, D. (2016). Estilos de Apego y Dificultades de Regulación Emocional en Estudiantes Universitarios. *Psykhé (Santiago)*, 25(1), 1–13. <https://doi.org/10.7764/psykhe.25.1.706>
- Hair, J. F., Black, W. C., Babin, B. J., & Anderson, R. E. (2019). *Multivariate data analysis* (8th ed.). Cengage.
- Harrington, N. (2005). The Frustration Discomfort Scale: development and psychometric properties. *Clinical Psychology & Psychotherapy*, 12(5), 374–387. <https://doi.org/10.1002/cpp.465>
- Harrington, N. (2006). Frustration Intolerance Beliefs: Their Relationship with Depression, Anxiety, and Anger, in a Clinical Population. *Cognitive Therapy and Research*, 30(6), 699–709. <https://doi.org/10.1007/s10608-006-9061-6>
- Hinton, P., McMurray, I., & Brownlow, C. (2014). *SPSS Explained* (2nd ed.). Routledge. <https://doi.org/10.4324/9781315797298>

- Hu, L., & Bentler, P. M. (1999). Cutoff criteria for fit indexes in covariance structure analysis: Conventional criteria versus new alternatives. *Structural Equation Modeling: A Multidisciplinary Journal*, 6(1), 1–55. <https://doi.org/10.1080/10705519909540118>
- Jermann, F., Van der Linden, M., D’Acremont, M., & Zermatten, A. (2006). Cognitive Emotion Regulation Questionnaire (CERQ). *European Journal of Psychological Assessment*, 22(2), 126–131. <https://doi.org/10.1027/1015-5759.22.2.126>
- Kline, R. B. (2015). *Principles and practice of structural equation modeling* (4th ed.). The Guilford Press.
- Korkmaz, S., Goksuluk, D., & Zararsiz, G. (2014). MVN: An R Package for Assessing Multivariate Normality. *The R Journal*, 6(2), 151–162. <https://doi.org/10.32614/RJ-2014-031>
- Leys, C., Klein, O., Dominicy, Y., & Ley, C. (2018). Detecting multivariate outliers: Use a robust variant of the Mahalanobis distance. *Journal of Experimental Social Psychology*, 74, 150–156. <https://doi.org/10.1016/j.jesp.2017.09.011>
- Limonero, J. T., Tomás-Sábado, J., Fernández-Castro, J., Gómez-Romero, M. J., & Ardilla-Herrero, A. (2012). Estrategias de afrontamiento resilientes y regulación emocional: predictores de satisfacción con la vida. *Behavioral Psychology/Psicología Conductual*, 20(1), 183–196.
- Mardia, K. V. (1970). Measures of multivariate skewness and kurtosis with applications. *Biometrika*, 57(3), 519–530. <https://doi.org/10.1093/biomet/57.3.519>
- Marsh, H. W., Hau, K.-T., & Wen, Z. (2004). In Search of Golden Rules: Comment on Hypothesis-Testing Approaches to Setting Cutoff Values for Fit Indexes and Dangers in Overgeneralizing Hu and Bentler’s (1999) Findings. *Structural Equation Modeling: A Multidisciplinary Journal*, 11(3), 320–341. https://doi.org/10.1207/s15328007sem1103_2
- Martín, F. A., & Fernández, M. P. (1978). “Path” análisis, modelos de ecuaciones estructurales y variables no observadas. *Reis*, 3(3), 187–208. <https://doi.org/10.2307/40182715>
- Mazzucchelli, T. G., Kane, R. T., & Rees, C. S. (2010). Behavioral activation interventions for well-being: A meta-analysis. *The Journal of Positive Psychology*, 5(2), 105–121. <https://doi.org/10.1080/17439760903569154>
- Meade, A. W., Johnson, E. C., & Braddy, P. W. (2008). Power and sensitivity of alternative fit indices in tests of measurement invariance. *Journal of Applied Psychology*, 93(3), 568–592. <https://doi.org/10.1037/0021-9010.93.3.568>
- Medrano, L. A., Franco, P., Flores-Kanter, P. E., & Mustaca, A. E. (2019). Intolerancia a la frustración y estrategias cognitivas de regulación emocional en la predicción de la agresividad. *Suma Psicológica*, 26(1), 19–27. <https://doi.org/10.14349/sumapsi.2019.v26.n1.3>
- Medrano, L. A., Franco, P., & Mustaca, A. E. (2018). Adaptación argentina de la escala “Escala de intolerancia a la frustración”. *Behavioral Psychology/Psicología Conductual*, 26(2), 303–321.
- Medrano, L. A., Moretti, L., Ortiz, Á., & Pereno, G. L. (2013). Validación del Cuestionario de Regulación Emocional en universitarios de Córdoba. *Psykhé (Santiago)*, 22(1), 83–96. <https://doi.org/10.7764/psykhe.22.1.473>

- Mustaca, A. E. (2017). Frustración y conductas sociales. *Avances En Psicología Latinoamericana*, 36(1), 65–81. <https://doi.org/10.12804/revistas.urosario.edu.co/apl/a.4643>
- Nolen-Hoeksema, S., & Watkins, E. R. (2011). A Heuristic for Developing Transdiagnostic Models of Psychopathology. *Perspectives on Psychological Science*, 6(6), 589–609. <https://doi.org/10.1177/1745691611419672>
- Nolen-Hoeksema, S., Wisco, B. E., & Lyubomirsky, S. (2008). Rethinking Rumination. *Perspectives on Psychological Science*, 3(5), 400–424. <https://doi.org/10.1111/j.1745-6924.2008.00088.x>
- Otto, J., & Linden, M. (2018). Reduction of Distress Intolerance with Salutotherapeutic Interventions: Results from a Randomized Controlled Clinical Trial. *Chronic Stress*, 2, 1–7. <https://doi.org/10.1177/2470547018800484>
- Preacher, K. J., & Hayes, A. F. (2008). Asymptotic and resampling strategies for assessing and comparing indirect effects in multiple mediator models. *Behavior Research Methods*, 40(3), 879–891. <https://doi.org/10.3758/BRM.40.3.879>
- R Core Team. (2020). *R: A language and environment for statistical computing*. <https://www.r-project.org/>
- Raykov, T., & Marcoulides, G. A. (2006). *A first course in structural equation modeling* (2nd ed.). Lawrence Erlbaum Associates.
- Rosseel, Y. (2012). lavaan: An R Package for Structural Equation Modeling. *Journal of Statistical Software*, 48(2), 1–36. <https://doi.org/10.18637/jss.v048.i02>
- Saris, W. E., Satorra, A., & van der Veld, W. M. (2009). Testing Structural Equation Models or Detection of Misspecifications? *Structural Equation Modeling: A Multidisciplinary Journal*, 16(4), 561–582. <https://doi.org/10.1080/10705510903203433>
- Satorra, A., & Bentler, P. M. (2001). A scaled difference chi-square test statistic for moment structure analysis. *Psychometrika*, 66(4), 507–514. <https://doi.org/10.1007/BF02296192>
- Stanković, S., & Vukosavljević-Gvozden, T. (2011). The Relationship of a Measure of Frustration Intolerance with Emotional Dysfunction in a Student Sample. *Journal of Rational-Emotive & Cognitive-Behavior Therapy*, 29(1), 17–34. <https://doi.org/10.1007/s10942-011-0128-2>
- Stine, R. (1989). An Introduction to Bootstrap Methods. *Sociological Methods & Research*, 18(2–3), 243–291. <https://doi.org/10.1177/0049124189018002003>
- Venables, W. N., & Ripley, B. D. (2002). *Modern Applied Statistics with S*. Springer. <https://doi.org/10.1007/978-0-387-21706-2>
- Watkins, E. R., & Roberts, H. (2020). Reflecting on rumination: Consequences, causes, mechanisms and treatment of rumination. *Behaviour Research and Therapy*, 127, 103573. <https://doi.org/10.1016/j.brat.2020.103573>
- Weissman, D. G., Bitran, D., Miller, A. B., Schaefer, J. D., Sheridan, M. A., & McLaughlin, K. A. (2019). Difficulties with emotion regulation as a transdiagnostic mechanism linking child maltreatment with the emergence of psychopathology. *Development and Psychopathology*, 31(3), 899–915. <https://doi.org/10.1017/S0954579419000348>
- Yu, C.-Y. (2002). *Evaluating cutoff criteria of model fit indices for latent variable models with binary and continuous outcomes*. University of California, Los Angeles Los Angeles, CA.

Yung, Y.-F., & Bentler, P. M. (1996). Bootstrapping techniques in analysis of mean and covariance structures. In G. Marcoulides & R. Schumacker (Eds.), *Advanced structural equation modeling: Issues and techniques* (pp. 195–226). Psychology Press.